

# Межслойная электродинамика высокотемпературных сверхпроводников: краткий обзор экспериментов\*

Д.Н.Басов

*Отличительной особенностью высокотемпературных сверхпроводников (ВТСП) в области недодопирования является большой масштаб энергий, связанных с формированием сверхпроводящего конденсата, который значительно превышает величину энергетической щели и, по-видимому, близок к энергии межзонных переходов [1]. Этот результат может быть интерпретирован как следствие понижения электронной кинетической энергии при температурах, меньших критической, и свидетельствует в пользу механизма сверхпроводимости, отличного от модели Бардина, Купера, Шриффера. Электродинамика этого нетривиального сверхпроводящего состояния, по-видимому, непосредственно связана с аномалиями, наблюдаемыми в нормальном состоянии купратных ВТСП, включая псевдощель и отсутствие хорошо определенных квазичастиц.*

**Ключевые слова:** высокотемпературные сверхпроводники, сверхпроводящая щель, инфракрасная спектроскопия, псевдощелевое состояние.

Высокие критические температуры сверхпроводящего перехода к настоящему времени достигнуты только в слоистых купратных материалах. Этот класс соединений обладает сильной анизотропией электронных свойств. Для большинства купратов обнаружен металлический характер проводимости в направлении вдоль  $\text{CuO}_2$ -плоскостей. Однако эти плоскости, по-видимому, почти не связаны (по крайней мере в нормальном состоянии), и ряд свойств материалов, измеряемых в направлении вдоль оси  $c$  (перпендикулярно плоскостям), демонстрирует «диэлектрическое» поведение [2]. Во многих типах купратов температура перехода растет с ростом числа слоев  $\text{CuO}_2$  в элементарной ячейке [3]. Тем не менее как минимум два соединения с одним слоем  $\text{CuO}_2$  в элементарной ячейке, такие как  $\text{Tl}_2\text{Ba}_2\text{CuO}_{6+x}$  ( $\text{Tl}2201$ ) и  $\text{HgBa}_2\text{CuO}_{4+x}$ , имеют критическую температуру  $T_c > 90$  К. По меньшей мере в одной модели – модели межслоевого туннелирования – устанавливается связь между почти диэлектрическим откликом вдоль оси  $c$ , определяемым слоистой кристаллической структурой, и высокой критической температурой [4, 5]. Вообще, роль связи между слоями в образовании состояния высокотемпературной сверхпроводимости (ВТСП) была в центре внимания с момента открытия этого явления.

Инфракрасная и оптическая спектроскопия – идеальный инструмент для исследования межслоевого транспорта. И действительно, эта экспериментальная методика позволяет напрямую измерять плотность сверхпроводящего конденсата, существенную для джозефсоновской связи между почти изолированными  $\text{CuO}_2$ -плоскостями [6]. Спектроскопия дает также ценную информа-

цию о сверхпроводящей энергетической щели и так называемом псевдощелевом состоянии, которое развивается во многих купратах при температуре  $T^* > T_c$  (см. [7] и приведенные там ссылки). Последние экспериментальные достижения позволяют в настоящее время исследовать межслоевой транспорт на образцах микроскопических размеров [8], что, в свою очередь, дает возможность проводить исследования на многих различных ВТСП-материалах. ИК исследования межслоевой электродинамики позволяют сделать некоторые выводы относительно общих тенденций в поведении ВТСП-купратов. В настоящей работе дан краткий обзор некоторых последних экспериментов, цель которых – определение масштабов энергий, существенных для сверхпроводящего перехода, а также результатов, относящихся к проблеме ферми-жидкостного описания межслоевого отклика в ВТСП.

Отличительные особенности межслоевого отклика купратов хорошо видны на кривых коэффициента отражения  $R(\omega)$ , приведенных на рис.1 для  $\text{La}_{2-x}\text{Sr}_x\text{CuO}_4$

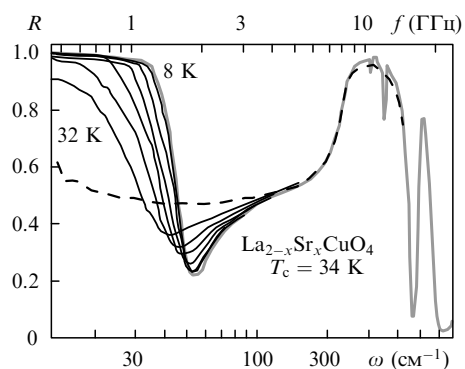


Рис.1. Спектры отражения излучения с поляризацией, при которой поле  $E$  направлено вдоль оси  $c$ , для монокристалла  $\text{La}_{2-x}\text{Sr}_x\text{CuO}_4$  с  $T_c = 34$  К, полученные при  $T = 8$  (серая кривая), 17, 20, 22, 25, 27, 32 (черные кривые) и 37 К (штриховая кривая) [9];  $f$  – частота излучения.

\*Перевела с англ. О.М.Иваненко.

(La214) [9]. Из-за сильной анизотропии спектры отражения, снятые в нормальном состоянии, с поляризацией, при которой вектор электрического поля  $E$  направлен вдоль оси  $c$  (отклики вдоль оси  $c$ ), напоминают спектры диэлектриков: видны несколько ярко выраженных фоновых мод при  $\omega > 200 \text{ см}^{-1}$  и плоский частотно-независящий фон в далекой ИК области, где  $R(\omega) = 0.5 - 0.6$  [10–12]. Существует очень слабая температурная зависимость этих спектров при уменьшении  $T$  от 300 К до  $T_c$ . Однако при переходе данных образцов в сверхпроводящее состояние зависимость коэффициента отражения от частоты меняет свой характер:  $R(\omega)$  почти достигает единицы при низких частотах и затем резко падает до  $\sim 0.2$ . При высоких энергиях коэффициент отражения постепенно восстанавливается до величины, соответствующей нормальному состоянию. Такое поведение напоминает плазменный резонанс, имеющий место в обычных металлах.

Наличие плазменного края можно рассматривать как прямое следствие формирования сверхпроводящего  $\delta(0)$ -пика в частотной зависимости реальной части комплексной проводимости  $\sigma(\omega) = \sigma_1(\omega) + i\sigma_2(\omega)$  [10, 13]. Поскольку плазменный край, по-видимому, обусловлен джозефсоновской связью  $\text{CuO}_2$ -слоев, то эту особенность часто называют джозефсоновским плазменным резонансом. Проводимость при  $T$  как ниже, так и выше  $T_c$  сильно зависит от температуры (рис.2). Абсолютные величины  $\sigma_1(\omega)$ , определенные с помощью соотношений Крамера – Кронига из спектров  $R(\omega)$  на рис.1, относительно малы и не превышают  $15 \text{ Ом}^{-1} \cdot \text{см}^{-1}$  при  $\omega \rightarrow 0$ . При увеличении концентрации носителей в процессе допирования абсолютные значения  $\sigma_1(\omega)$  также растут. В результате в межслоевой проводимости возникает друлевская мода (см. ниже рис.5). Плотность сверхпроводящего конденсата  $\rho_s$ , пропорциональная площади под  $\delta(0)$ -пиком в спектре  $\sigma_1(\omega, T \ll T_c)$ , рассчитывается из разности площадей под кривыми  $\sigma_1(\omega)$  в сверхпроводящем и нормальном состояниях и также растет с допированием.

Принято характеризовать  $\rho_s$  в сверхпроводнике глубиной проникновения магнитного поля  $\lambda = (1/\rho_s)^{1/2}$ . Зависимость межслоевой глубины проникновения (вдоль оси  $c$ )  $\lambda_c$  от проводимости на постоянном токе  $\sigma_{dc}$  ( $T = T_c$ ) для некоторых семейств купратов обнаруживает универсальное скейлинговое поведение (рис.3) [9, 14], ко-

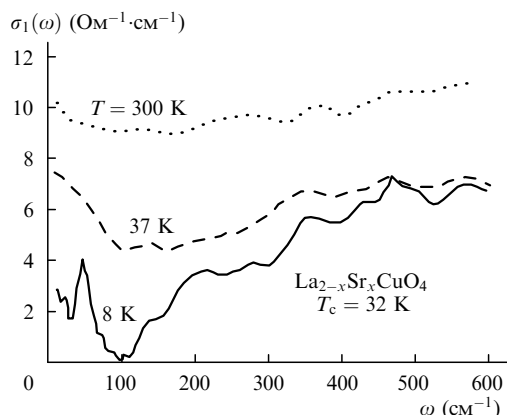


Рис.2. Спектры действительной части проводимости  $\sigma_1$ , полученные методом Крамера – Кронига из данных, приведенных на рис.1. Показан только электронный вклад в проводимость. Фоновые пики исключены. Форма пиков полагалась лоренцевской.

4 Квантовая электроника, т.32, № 12

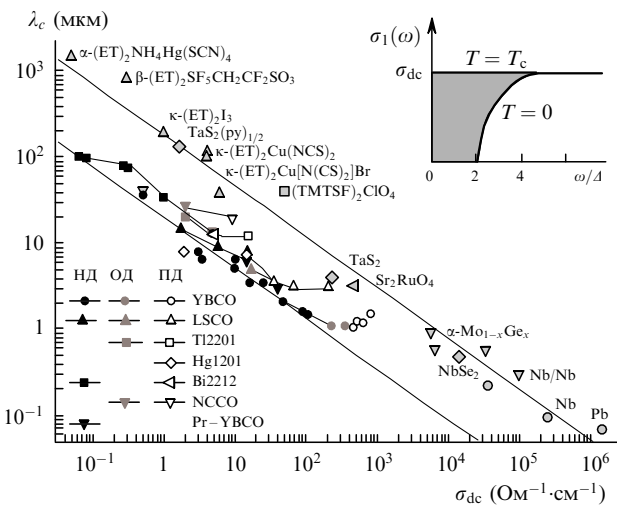


Рис.3. Глубина проникновения вдоль оси  $c$  ( $T \rightarrow 0$ ) как функция проводимости на постоянном токе  $\sigma_{dc}$  для различных слоистых сверхпроводников [14] (НД, ОД, ПД – недодопированное, оптимально допированное и передодопированное состояния). На вставке приведены зависимости  $\sigma_1$  от  $\omega/\Delta$ . В обычном случае «грязного» сверхпроводника спектральный вес сверхпроводящего конденсата (определенного величиной  $1/\lambda^2$ ) «собирается» главным образом из области энергий порядка сверхпроводящей щели. Полный вес в нормальном состоянии задается проводимостью  $\sigma_{dc}$ , тогда как произведение  $2\Delta\sigma_{dc}$  определяет часть полного веса, которая переходит в конденсат.

торое заключается в том, что глубина  $\lambda_c$  падает с ростом проводимости в нормальном состоянии. Скейлинговое поведение наблюдается главным образом в недодопированных купратах (черные точки на рис.3). Отклонение от скейлинга тоже является систематическим и наиболее ярко выражено в передодопированной фазе (светлые точки). Такие отклонения являются следствием хорошо установленного факта: в передодопированной области на фазовой диаграмме проводимость  $\sigma_{dc}$  возрастает, в то время как  $\lambda_c$  либо не изменяется, либо немного увеличивается [12, 15, 16].

Аналогичная скейлинговая связь между  $\lambda_c$  и  $\sigma_{dc}$  имеет место также для других классов слоистых сверхпроводников, включая органические материалы, дихалькогениды переходных металлов и Sr<sub>2</sub>RuO<sub>4</sub>. Хотя данных для некупрятных материалов не очень много, их скейлинговое поведение в основном подобно тому, которое наблюдается в купратах. Наклоны зависимостей  $\lambda_c(\sigma_{dc})$  для купрятных и некупрятных материалов также близки. Принципиальное отличие состоит в том, что универсальная зависимость  $\lambda_c(\sigma_{dc})$  для купраратов сдвинута вниз примерно на порядок. Это показывает, что для одних и тех же значений  $\sigma_{dc}$  плотность конденсата значительно выше в недодопированных купратах, чем в некупрятных материалах. В то же время не найдено никакой связи скейлинга с температурой сверхпроводящего перехода. В работе [14] был сделан вывод, что существование двух разных участков зависимости  $\lambda_c(\sigma_{dc})$  можно объяснить резким увеличением масштаба энергии, связанной с образованием сверхпроводящего конденсата в недодопированных купратах, по сравнению с масштабом энергий для обычных слоистых сверхпроводников.

Спектроскопические исследования межслоевой электродинамики позволяют в явном виде проверить масштаб энергий, связанных со сверхпроводящим переходом, с

помощью проверки правила сумм при анализе результатов измерения высокочастотной проводимости [17, 4, 5, 1]. Для этой цели полезно ввести эффективный спектральный вес, определяемый как  $N(\omega) = \int_0^\omega \sigma_1(\omega') d\omega'$ , и затем исследовать разность двух таких интегралов в нормальном и сверхпроводящем состояниях:  $N_n(\omega) - N_s(\omega)$ . Эта разность характеризует процесс образования конденсата [1]. В обычном сверхпроводнике, который хорошо описывается моделью Бардина, Купера, Шриффера (БКШ), около 70–80 % плотности конденсата формируется при энергиях порядка энергетической щели  $2\Delta$ , как схематически показано на вставке к рис.3. Почти полная конденсация существует, когда  $\omega$  достигает  $(5–6)\Delta$ . Интересно, что во многих купратах (в основном в недодопированной фазе) значительная часть сверхпроводящего конденсата формируется при энергиях, намного превышающих величину энергетической щели. Этот эффект можно интерпретировать в терминах понижения электронной кинетической энергии при  $T < T_c$ .

Экспериментальные результаты для некоторых семейств ВТСП представлены на рис.4, где приведена зависимость  $[N_n(10 \text{ K}) - N_s(T = T_c)]/\rho_s$  от проводимости по постоянному току перпендикулярно слоям. Интегралы вычислялись вплоть до энергии обрезания 0.1 эВ. Отклонение  $[N_n(10 \text{ K}) - N_s(T = T_c)]/\rho_s$  от единицы является мерой вклада в  $\delta(0)$ -пик спектрального веса аномально высоких частот ( $\omega \gg 2\Delta$ ) и, следовательно, связано с понижением кинетической энергии. Видно, что наиболее заметный высокочастотный вклад в плотность конденсата существует в материалах с низкой проводимостью на постоянном токе. С ростом  $\sigma_{dc}$  отношение  $[N_n(10 \text{ K}) - N_s(T = T_c)]/\rho_s$  монотонно растет вплоть до единицы, а это означает, что верхний предел интегрирования можно установить равным 0.1 эВ. Эта тенденция сохраняется для различных купратах, включая YBa<sub>2</sub>Cu<sub>3</sub>O<sub>x</sub> (Y123), Tl2201 и La214. По крайней мере в Y123 и La214 изменения кинетической энергии для компоненты вдоль оси  $c$  явно связаны с возникновением псевдощелевого состояния при  $T^* > T_c$  и с «диэлектрическим» поведением температурной зависимости сопротивления. Характерным признаком псевдощели в отклике недодопированных ВТСП-купратов в направлении оси  $c$  является перенос спектрального веса из ИК области в сторону более высоких энергий [18]. Этому соответствует уменьшение  $\sigma_1(\omega \rightarrow 0)$  (см. рис.2) и характерный «полупроводниковый» ход температурной зависимости сопротивления на постоянном токе, обычно наблюдаемый в недодопированных соединениях. Для всех материалов (за исключением Tl2201), указанных на рис.4, для которых  $[N_n(10 \text{ K}) - N_s(T = T_c)]/\rho_s < 1$ , имеет место «полупроводниковый» ход температурной зависимости сопротивления. В псевдощелевом состоянии движение носителей заряда в основном происходит в CuO<sub>2</sub>-плоскостях, вероятность же их когерентных перескоков между плоскостями понижена. Следовательно, данные рис.4 свидетельствуют о том, что изменение кинетической энергии при  $T < T_c$  может быть связано с когерентной частью межслоевого отклика в нормальном состоянии. Заметим также, что изменение кинетической энергии имеет тот же порядок величины, что и сама кинетическая энергия движения электронов вдоль оси  $c$ . Это поведение резко отличается от того, которое обычно имеет место в сверхпроводящих металлах.

Особенности межслоевой электродинамики, наблюдаемые в ВТСП, по-видимому, связаны с характером электродинамического отклика в направлении, параллельном CuO<sub>2</sub>-плоскостям. При этом полезно выяснить, можно ли из анализа свойств сверхпроводников в этих плоскостях сделать вывод о наличии в системе хорошо определенных квазичастиц. Для ответа на этот вопрос воспользуемся скоростью рассеяния в плоскости (обратным временем жизни), определяемой следующей формулой:

$$\frac{1}{\tau_{ab}(\omega)} = \frac{\omega_p^2}{4\pi} \frac{\sigma_1(\omega)}{\sigma_1^2(\omega) + \sigma_2^2(\omega)}. \quad (1)$$

Плазменная частота  $\omega_p$  может быть получена интегрированием действительной части оптической проводимости до частоты межзонных переходов. На рис.5, $g-e$  приведена скорость рассеяния в CuO<sub>2</sub>-плоскости  $1/\tau_{ab}$  для ВТСП-материалов и стандартного слоистого сверхпроводника 2H–NbSe<sub>2</sub>, а на рис.5, $a-b$  – межслоевая проводимость  $\sigma_{1c}$ . Важной особенностью результатов, представленных на рис.5, является то, что с ростом додирования, при переходе от недодопированного YBa<sub>2</sub>Cu<sub>3</sub>O<sub>6.6</sub> к оптимально додированному YBa<sub>2</sub>Cu<sub>3</sub>O<sub>6.95</sub>, величина  $1/\tau_{ab}(\omega)$  уменьшается. Аналогичное поведение наблюдается и в других купратах [19, 23–25]. Заштрихованные области на рис.5 соответствуют ферми-жидкостному режиму, когда в плоскости имеются хорошо определенные квазичастицы, т. е. скорость рассеяния ограничена энергией квазичастиц ( $1/\tau_{ab}(\omega) < \omega_c$ ). Данные для 2H–NbSe<sub>2</sub> соответствуют области ферми-жидкости во всем интервале частот на рис.5. Иная картина наблюдается для двух купрятых материалов, что может оказывать сильное воздействие на межплоскостной транспорт. В сверхпроводнике 2H–NbSe<sub>2</sub>, где квазичастицы в плоскости хорошо определены, межплоскостной транспорт также является когерентным и характеризуется узкой друделоподобной модой, ширина которой уменьшается с понижением температуры (рис.5, $b$ ).

С другой стороны, в соединении YBa<sub>2</sub>Cu<sub>3</sub>O<sub>6.6</sub>, где отсутствуют хорошо определенные квазичастицы, межслоевой транспорт является некогерентным, причем в спектре  $\sigma_1(\omega)$  доминируют оптические фононы (рис.5, $a$ ). Что касается передодированного YBa<sub>2</sub>Cu<sub>3</sub>O<sub>7</sub> (рис.5, $b$ ), то оптическая проводимость данного соединения является промежуточной между проводимостями для этих двух рассмотренных предельных случаев. Таким образом,

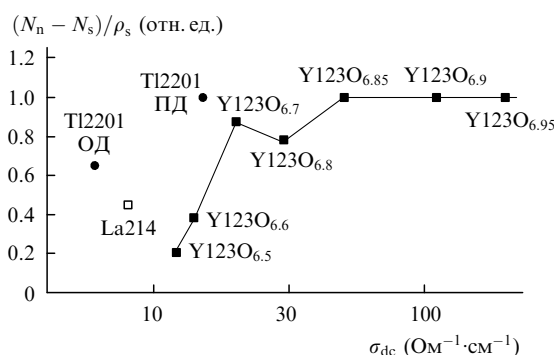


Рис.4. Зависимости от проводимости  $\sigma_{dc}(T_c)$  вдоль оси  $c$  приведенного спектрального веса  $[N_n(10 \text{ K}) - N_s(T = T_c)]/\rho_s$ , полученного интегрированием межслоевой проводимости вплоть до энергии 0.1 эВ, для семейства купрятых ВТСП (ОД – оптимально додированное и передодированное состояния).

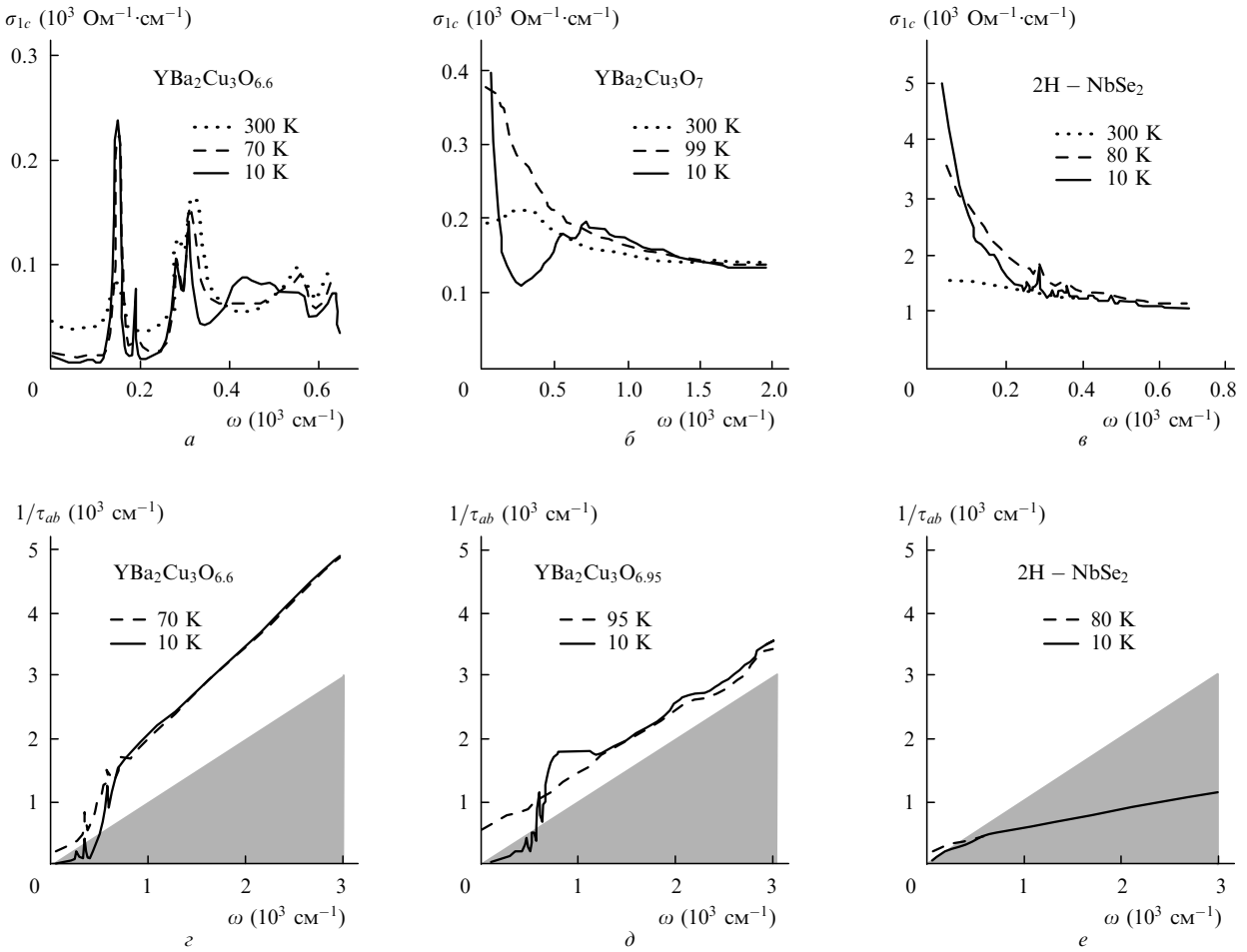


Рис.5. Примеры поведения действительной части межслоевой оптической проводимости  $\sigma_{1c}(\omega)$  (a–e) и скорости рассеяния в  $\text{CuO}_2$ -плоскости  $1/\tau_{ab}(\omega)$  (e–j) для слоистых сверхпроводников при различных температурах [14]. Друдеподобный характер зависимости для дихалькогенида  $2\text{H}-\text{NbSe}_2$  (e) согласуется с измерениями магнетосопротивления, что может служить доказательством существования хорошо определенных квазичастиц. В противоположность этому проводимость недодопированного ВТСП  $\text{YBa}_2\text{Cu}_3\text{O}_{6.6}$  (a) не согласуется с предположением о когерентном отклике. Передодипрованные купраты демонстрируют друдеподобное поведение (b) и занимают промежуточное положение между двумя линиями на рис.3. Экспериментальные данные взяты из работ [18, 19] для  $\text{YBa}_2\text{Cu}_3\text{O}_{6.6}$ , [20, 21] – для  $\text{YBa}_2\text{Cu}_3\text{O}_7$ , [19] – для  $\text{YBa}_2\text{Cu}_3\text{O}_{6.95}$ , [22] – для  $2\text{H}-\text{NbSe}_2$ .

Рис.5 свидетельствует в пользу того, что наличие долгоживущих квазичастиц в  $\text{CuO}_2$ -плоскости является, возможно, необходимой предпосылкой для когерентного межплоскостного транспорта.

Вывод, который можно сделать из измерений межслоевого отклика, состоит в том, что изменение кинетической энергии обнаружено только в тех материалах, свойства которых в нормальном состоянии характеризуются сильной некогерентностью и, следовательно, значительно отличаются от свойств обычной фермий жидкости. Признаком некогерентного отклика в спектре  $\sigma_{1c}(\omega)$  является плоский, почти без особенностей фон (рис.2 и рис.5,a, g). Кинетическая энергия понижается при сверхпроводящем переходе, только если наблюдается такое характерное поведение отклика в нормальном состоянии. В основном это имеет место в недодопированных купратах. С увеличением додирования до значений, соответствующих оптимальной и передодипрованной областям фазовой диаграммы, межслоевой отклик становится более когерентным, что подтверждается появлением друдевской моды в зависимости  $\sigma_{1c}(\omega)$ . Указанное изменение кинетической энергии уменьшается и обращается в нуль в области передодипрования. Из этого

следует, что понижение кинетической энергии является характерной чертой перехода в когерентное состояние при  $T < T_c$  в условиях отсутствия когерентности при  $T > T_c$ .

Таким образом, краткий обзор свойств сверхпроводящего отклика в недодопированных ВТСП выявляет наличие интересного взаимодействия между характерными свойствами сверхпроводящего конденсата в этих системах и аномальным откликом в нормальном состоянии. Большой интервал энергий, участвующих в образовании сверхпроводящего конденсата, может интерпретироваться как следствие понижения кинетической энергии электронов при  $T < T_c$ . Этот эффект, по-видимому, тесно связан с отсутствием когерентности в отклике в нормальном состоянии недодопированных купратах.

Я благодарен Николаю Геннадиевичу Басову за многочисленные обсуждения как настоящей работы, так и вопросов, выходящих за рамки этой статьи, которые продолжались до его безвременной кончины в июле 2001 г.

Данная работа была поддержана Национальным научным фондом (NSF) и Департаментом энергии США (DOE).

1. Basov D.N., Woods S.I., Katz A.S., Singley E.J., Dynes R.C., Xu M., Hinks D.G., Homes C.C., Strongin M. *Science*, **283**, 49 (1999).
2. Cooper S.L., Gray K.E. In: *Physical Properties of High- $T_c$  Superconductors*. Ed. by D.M.Ginsberg (Singapore: World Scientific, 1994, v. IV).
3. Hasegawa S., Ikuta H., Kitazawa K. In: *Physical Properties of High- $T_c$  Superconductors*. Ed. by D.M.Ginsberg (Singapore: World Scientific, 1992, v. 3, ch. 7).
4. Anderson P.W. *The Theory of Superconductivity in the High- $T_c$  Cuprates* (Princeton: Princeton University Press, 1998); *Science*, **279**, 1196 (1998).
5. Chakravarty S. *Eur. Phys. J. B*, **5**, 337 (1998); Chakravarty S., Kee H.-Y., Abrahams E. *Phys. Rev. Lett.*, **82**, 2366 (1999).
6. Basov D.N., Timusk T. In: *Handbook on the Physics and Chemistry of Rare Earths* (Amsterdam: Elsevier Science, 2001, v. 31, p. 437–507).
7. Timusk T., Statt B. *Rep. Prog. Phys.*, **62**, 61 (1999).
8. Homes C.C., Reedyk M.A., Crandels D.A., Timusk T. *Appl. Opt.*, **32**, 2976 (1993).
9. Basov D.N., Mook H.A., Dabrowski B., Timusk T. *Phys. Rev. B*, **52**, R13141 (1995).
10. Tamasaku K., Nakamura Y., Uchida S. *Phys. Rev. Lett.*, **69**, 1455 (1992).
11. Kim J.H., et al. *Physica C*, **247**, 297 (1995).
12. Uchida S., Tamasaku K., Tajima S. *Phys. Rev. B*, **53**, 1 (1996).
13. Basov D.N., Timusk T., Dabrowski B., Jorgensen J.D. *Phys. Rev. B*, **50**, 3511 (1994).
14. Dordevic S.V., Singley E.J., Basov D.N., Komiya S., Ando Y., Bucher E., Homes C.C., Strongin M. *Phys. Rev. B*, **65**, 134511 (2002).
15. Katz A.S., Woods S.I., Singley E.J., Li T.W., Xu M., Hinks D.G., Dynes R.C., Basov D.N. *Phys. Rev. B*, **61**, 5930 (2000).
16. Panagopoulos C., Cooper J.R., Xiang T., Wang Y.S., Chu C.W. *Phys. Rev. B*, **61**, 3808 (2000).
17. Hirsch J.E. *Physica C*, **199**, 305 (1992).
18. Homes C.C., Timusk T., Liang R., Bonn D.A., Hardy W.N. *Phys. Rev. Lett.*, **71**, 1645 (1993).
19. Basov D.N., Liang R., Dabrowski B., Bonn D.A., Hardy W.N., Timusk T. *Phys. Rev. Lett.*, **77**, 4090 (1996).
20. Schutzmann J., Tajima S., Miyamoto S., Tanaka S. *Phys. Rev. Lett.*, **73**, 174 (1994).
21. Tajima S., Schutzmann J., Miyamoto S., Terasaki I., Sato Y., Hauff R. *Phys. Rev. B*, **55**, 6051 (1997).
22. Dordevic S.V., Basov D.N., Dynes R.C., Bucher E. *Phys. Rev. B*, **64**, R161103 (2001).
23. Puchkov A.V., Fournier P., Basov D.N., Timusk T., Kapitulnik A., Kolesnikov N.N. *Phys. Rev. Lett.*, **77**, 3212 (1996).
24. Puchkov A.V., Basov D.N., Timusk T. *J. Phys. Cond. Mat.*, **8**, 10049 (1996).
25. Rotter L.D., Schlesinger Z., Collins R.T., Holtzberg F., Field C., Welp U.W., Crabtree G.W., Liu J.Z., Fang Y., Vandervoort K.G., Fleshler S. *Phys. Rev. Lett.*, **67**, 2741 (1991).



Ксения Тихоновна и Николай Геннадиевич Басовы со старшим сыном Геннадием и младшим – Дмитрием.